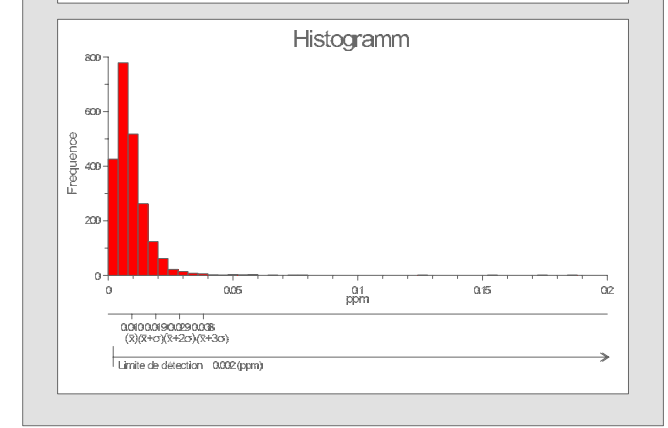
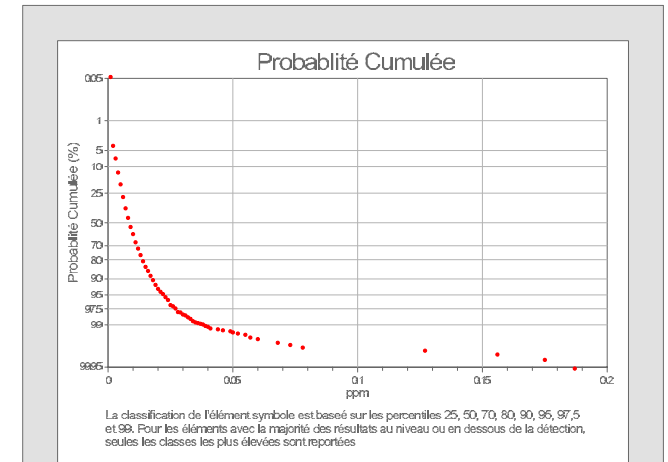


Légende Géochimique

| Ag (ppm) | Cumulatif Pourcentage d'échantillons | Statistiques | |
|----------|--------------------------------------|--------------------------|-------------|
| • | < 0.005 | Moyenne (\bar{x}) | 0.010 (ppm) |
| • | 0.005 - 0.008 | Médiane | 0.008 (ppm) |
| • | 0.008 - 0.011 | Minimum | 0.002 (ppm) |
| • | 0.011 - 0.013 | Maximum | 0.187 (ppm) |
| • | 0.013 - 0.017 | Écart type (σ) | 0.01 |
| • | 0.017 - 0.022 | Limite de détection | 0.002 (ppm) |
| • | 0.022 - 0.027 | Nombre d'échantillon (n) | 2240 |
| • | 0.027 - 0.038 | | |
| • | > 0.038 | | |



Méthodologie

Les éléments alluviaux (stream sédiments) ont été collectés dans canaux de drainage au/des petits ruisseaux. Chaque échantillon est un composite des sous-échantillons séparés d'au moins de 5 mètres le long de ruisseaux. Les localités des sites sont déterminées à l'aide de GPS (UTM à grille de 1m). Ces dernières sont enregistrées avec des données codées de site sur une fiche de terrain et ensuite saisies dans la base de données du projet. Chaque échantillon est tamisé sur place à l'aide d'un tamis acier inoxydable de 1mm pour donner un résidu tamisé (moins de 100µm).

Après le séchage de ces échantillons en plein air, ils transitent pour les analyses chimiques aux laboratoires "AL-SMinerals" à Johannesburg, Afrique du Sud. Ils sont ensuite tamisés à travers un tamis de 150 microns (60 mesh) à laboratoire avant analyse. Les niveaux de base et certains autres éléments solubles seront analysés par ICP-AES et ICP-AES après avoir dissout l'échantillon dans l'eau régale. Le Fluor (F) sont analysés par Fusion-SJE méthode. Les données de terrain et analytiques sont saisies dans une base de données et les résultats sont exportés ensuite pour l'analyse statistique et le SIG.

Légende Géologique

| Échelle | Unité | Description | Code | | |
|---|---|---|---|---------------------|------|
| PHANÉROZOÏQUE | CENOZOÏQUE | alluvions | Ca | | |
| | | campes ferrugineuse | NeFe | | |
| | MÉSOZOÏQUE | SUITE DE TSVORY | microgranite | CrMtg | |
| | | VOLCAN D'ANDROY | basalte | CrMtb | |
| | | | ryholite | CrMtr | |
| | PALEOZOÏQUE | SUPERGROUPE DU KAROO DE SALAMENIA | Formation de Sakamena II grès et schistes à Glosopontis | PsMts | |
| | | | Formation de Salica III grès et argiles rouges mineures | PsSKa | |
| | PROTÉROZOÏQUE | MÉSO-PROTÉROZOÏQUE | SUITE DAMBAVAO | granite (550-520Ma) | KAgr |
| | | | syénite | KAey | |
| | | | gneiss granitique | nFAAg | |
| SUITE D'ANKILABO | | syénite | nFAKgo | | |
| | | GROUPE D'ANKORA | Formation d'Ampaity gneiss pelitique avec grenat | nPIKAp | |
| Formation d'Iroho gneiss migmatitique | | | nPIKH | | |
| Formation de Beloka gneiss migmatitique | | | nPIKBl | | |
| Formation de Trianomaro bandérolite, gneiss, carbonatés | | | nPIKTn | | |
| Formation d'Iroho gneiss psammitique | | | nFABlt | | |
| MÉSO-PROTÉROZOÏQUE | | GROUPE DAMBATANO | Formation d'Ambatoavo gneiss pelitique | nFABab | |
| | Formation d'Ambondrokelley gneiss avec grenat | | nFABAm | | |
| | Formation d'Arkanandrazo gneiss avec magnésite | | nFABAd | | |
| | Formation de Morafeno gneiss | | nFABMf | | |
| | Formation de Mareano psammite | | nFABMv | | |
| | GROUPE D'ANATANY | Formation de Belonana pyroxénite, gabbro et diorite | nFABbn | | |
| | | Formation de Mahatshilo carbonatée et calco-silicatées | nFABlt | | |
| | | Formation d'Anatany carbonatée et calco-silicatées | nFABlt | | |
| | | Formation de Manozavato gneiss migmatitique | nFABtz | | |
| | | Formation de Tolonaro gneiss pelitique | nFHRto | | |
| MÉSO-PROTÉROZOÏQUE | GROUPE D'ANAKO | Formation de Sakavavony calco-silicatée et dioprovénite massive | mFAKsv | | |
| | | Formation de Liombo quartzite | mFAKli | | |
| | | Formation de Meba gneiss psammitique | mFAKmb | | |
| | | Formation de Beraketa gneiss pelitique avec grenat | mFAKbr | | |
| | | Formation de Tanambao gneiss pelitique | mFAKtb | | |
| | GROUPE DE MANGOKY | Formation de Marandra gneiss avec amphiboles | mFAKmr | | |
| | | Formation de Bekily gneiss | mFAKbk | | |
| | | Formation d'Arkanarabo carbonatée et calco-silicatées | mFAKAr | | |
| | | Formation d'Ampandrandava pyroxénite | mFAKAd | | |
| | | Formation de Tanantania amphibolite | mFAKtn | | |
| MÉSO-PROTÉROZOÏQUE | GROUPE D'ANAKO | Formation de Manantania gabbro | mFAKmn | | |
| | | Formation de Manakompy gneiss migmatitique | mFAKmk | | |
| | | Formation de Sakavavony calco-silicatée et dioprovénite massive | mFAKsv | | |
| | | Formation d'Anatany quartzite | mFAMn | | |
| | | Formation de Soavony gneiss psammitique | mFAMs | | |
| | GROUPE D'ANAKO | Formation d'Antelara gneiss pelitique | mFAMit | | |
| | | Formation d'Isorala gneiss avec grenat | mFAMis | | |
| | | Formation de Zombily gneiss avec magnésite | mFAMz | | |
| | | Formation de Sakavavony gneiss avec amphiboles | mFAMst | | |
| | | Formation de Betamata gneiss | mFAMef | | |
| MÉSO-PROTÉROZOÏQUE | GROUPE D'ANAKO | Formation de Vohitrampo gneiss Gabbro | mFAMv | | |
| | | Formation d'Anatsazo charbonnée | mFAMk | | |
| | | Formation d'Anatsazo calco-silicatée et dioprovénite massive | mFAMh | | |
| | | Formation de Sambalaly pyroxénite et amphibolite | mFAMsb | | |
| | | Formation de Kélimbondo gneiss migmatitique | mFAMkb | | |
| | GROUPE D'ANAKO | Formation de Tolonaro gneiss pelitique | nFHRto | | |
| | | Formation d'Ambararala gneiss avec grenat | nFHRab | | |
| | | Formation de Talaloha gneiss et biotite, psammitique, quartzite | nFHRtl | | |
| | | Formation d'Ambatobe charbonnée | nFHRam | | |
| | | Formation de Salaza gneiss migmatitique | nFHRsk | | |
| GROUPE D'ANAKO | Formation de Morafeno carbonatée et calco-silicatées | nFHRmf | | | |
| | Formation de Benalo Ambony mylonite | nFHRba | | | |
| | Formation de Sakavavony calco-silicatée et dioprovénite massive | mFAMh | | | |
| | Formation de Sambalaly pyroxénite et amphibolite | mFAMsb | | | |
| | Formation de Kélimbondo gneiss migmatitique | mFAMkb | | | |

Légende Topographique

| | |
|---|--------------------|
| ■ | Chef-Lieu-District |
| ■ | Chef-Lieu-Commune |
| ■ | Village |
| ■ | Habitat |
| ■ | Eau |
| — | Pièce |
| — | Dam/Wall |
| — | Route Principale |
| — | Route prioritaire |

Projet de Cartographie Géologique et de Système d'Information Minière pour la Promotion de l'Industrie Minière dans La République de Madagascar

Date: Mars 2012

Reference Cartographie: PGRM 2008, 1:50000 (Bokampy, J. I523, Cartographie 1:100000 (B) (Bantaly, EB (Bovary), IG (Bakaly), J58 (Salica), EB (Isorala), J59 (Arampandranava), K58 (Belokaly, K59 (Mihabo), Service géologique de Madagascar, Antananarivo

Gestion du projet: Takami ONUMA (SRED / JICA)

Cartographie: Asehi NINOMIYA (SRED / JICA), Shunichi ISHIZAKI (NIPPON KOGI / JICA), Saito TAKESHI (SRED / JICA), Roger FAMEEL OSON (SRED / JICA), Hiroaki ISHIOKA (SRED / JICA), Zoroimaina RANDRANALALA (MM), Uoahangilina SAHICU (RAMBARIANA (MM), Louis Herve RANDRANANALALA (MM), Soasichaina RAKOTOVAO (MM), Prosper RAZAFIMANANTSO (MM), Manirakasa RABISON (MM)

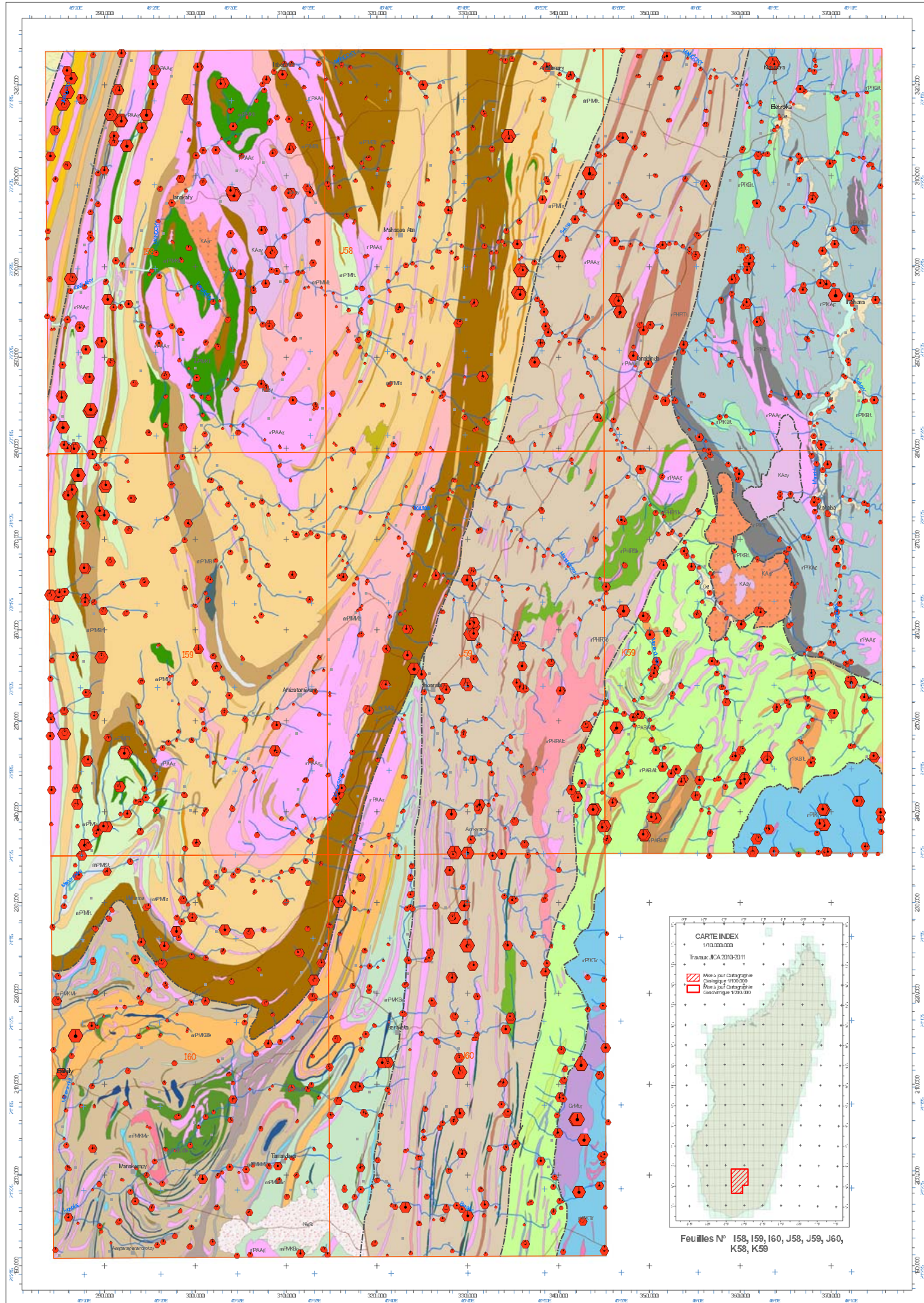
Rédaction et dessin cartographique: Asehi NINOMIYA (SRED / JICA), Shunichi ISHIZAKI (NIPPON KOGI / JICA), Masahiko HARA (SRED / JICA)

SIG & Télécollecteur: Takami ONUMA (SRED / JICA), Asehi NINOMIYA (SRED / JICA), Masahiko HARA (SRED / JICA)

Editeur: Sumiko Resources Exploration and Development Co., Ltd Tokyo, Japan

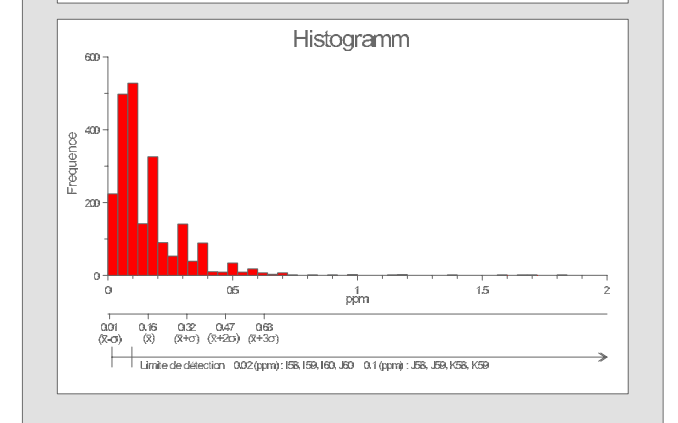
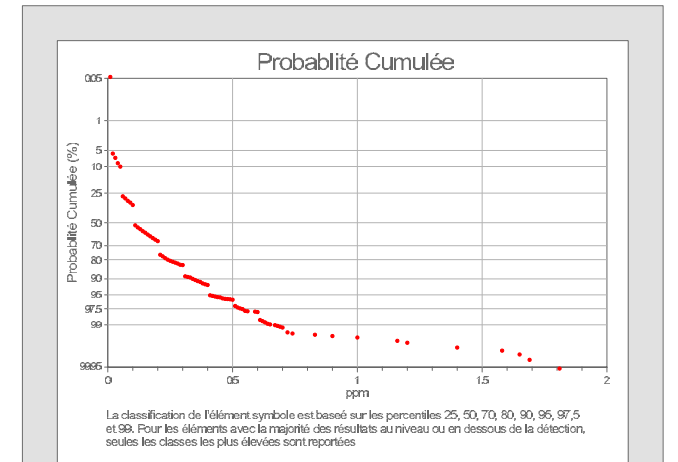
Coordinateur: Vohitraina RASOMANALALA (MM), Andriamanantena RANIVOARIVERO (MM)

Coordinateur adjoint: Jonezy RAMBOLAHY (PGRM), Dominique RAKOTOMANANA (PGRM)



Légende Géochimique

| As (ppm) | Cumulatif Pourcentage d'échantillons | Statistiques | |
|-------------|--------------------------------------|--------------------------|--|
| < 0.05 | < 25 | Moyenne (\bar{x}) | 0.16 (ppm) |
| 0.05 - 0.10 | 25 - 50 | Médiane | 0.10 (ppm) |
| 0.10 - 0.20 | 50 - 70 | Minimum | 0.02 (ppm) |
| 0.20 - 0.24 | 70 - 80 | Maximum | 1.81 (ppm) |
| 0.24 - 0.34 | 80 - 90 | Écart type (σ) | 0.15 |
| 0.34 - 0.40 | 90 - 95 | Limite de détection | J58, J59, K58, K59 158, 159, 160, J60 |
| 0.40 - 0.53 | 95 - 97.5 | | 0.1 (ppm) |
| 0.53 - 0.67 | 97.5 - 99 | | 0.02 (ppm) |
| > 0.67 | > 99 | Nombre d'échantillon (n) | 2240 |



Légende Géologique

| Échelle | Unité | Description | Code | |
|--------------------|---|--|---|---|
| PHANÉROZOÏQUE | CENOZOÏQUE | alluvions | Ca | |
| | | carapace ferrugineuse | NeFe | |
| | MESOZOÏQUE | SUITE DE TSVORY | microgranite | CrMg |
| | | VOLCAN D'ANDROY | basalte | CrMab |
| | | | rhyolite | CrMtr |
| | | PALEOZOÏQUE | SUPER-GROUPE DU KAROO | Formation de Sakamena II grès et schistes à Glossopiers |
| | Formation de Sakoa III grès et argiles rouges inférieures | | | PsSKa |
| | GROUPE DE SAVANENA | | granite (500-520Ma) | KAg |
| | | | gneiss granitique | nFAAg |
| | PROTÉROZOÏQUE | MESO-PROTÉROZOÏQUE | SUITE D'ANKILABO | syénite |
| GROUPE D'ANKORA | | | Formation d'Ampanihy gneiss pelitique avec grenat | nPIKAp |
| | | Formation d'Ankora gneiss pelitique | nPIKp | |
| | | Formation de Belokra gneiss migmatitique | nPIKb | |
| | | Formation de Trianomaro gneiss pelitique, gneiss, carbonatés | nPIKt | |
| NEO-PROTÉROZOÏQUE | | GROUPE DAMBATAVO | Formation d'Ankora gneiss pelitique | nFABt |
| | | | Formation d'Ambatavo gneiss pelitique | nFABab |
| | | GROUPE DAMBATANO | Formation d'Ambatavo gneiss pelitique | nFABab |
| | | | Formation d'Ambatavo gneiss pelitique | nFABab |
| MÉSOPROTÉROZOÏQUE | | GROUPE DE MANGOKY | Formation de Libambo quartzite | mFMKLi |
| | Formation de Maba gneiss psammitique | | mFMKb | |
| | Formation de Beraketa gneiss pelitique avec grenat | | mFMKb | |
| | Formation de Tanambao gneiss pelitique | | mFMKb | |
| | GROUPE DE MANAKO | Formation de Manakoa gneiss migmatitique | mFMKt | |
| | | Formation de Bekily gneiss | mFMKb | |
| | | Formation d'Ankararabo carbonatée et calco-silicatées | mFMKt | |
| | | Formation d'Ampanancavia pyroxénite | mFMKad | |
| | | Formation de Tanianina amphibolite | mFMKt | |
| | | Formation de Manantana gabbro | mFMKt | |
| GROUPE D'ANALAKO | Formation de Manakoa gneiss migmatitique | mFMKt | | |
| | Formation de Sakavokony gneiss pelitique | mFMKs | | |
| | Formation d'Analakao quartzite | mFMW | | |
| | Formation de Soavavy gneiss psammitique | mFMW | | |
| GROUPE D'AMBOHANGA | Formation d'Antelavato gneiss pelitique | mFMit | | |
| | Formation d'Amboahangy gneiss pelitique | mFMis | | |
| | Formation de Zombily gneiss avec grenat | mFMib | | |
| | Formation de Sakalavavy gneiss avec amphiboles | mFMit | | |
| GROUPE D'AMBOHANGA | Formation de Betanana gneiss | mFMif | | |
| | Formation de Vohimbato gneiss GSB | mFMib | | |
| | Formation de Sakalavavy gneiss avec amphiboles | mFMit | | |
| | Formation de Betanana gneiss | mFMif | | |
| GROUPE DE HOROMBE | Formation de Tolanaro gneiss pelitique | nPHRt | | |
| | Formation d'Ambararata gneiss avec grenat | nPHRab | | |
| | Formation de Talabaho gneiss et biotite, psammitique, quartzite | nPHRt | | |
| | Formation d'Ambaratse gneiss pelitique | nPHRab | | |
| GROUPE DE HOROMBE | Formation de Sakoa gneiss migmatitique | nPHRSk | | |
| | Formation de Moramora carbonatée et calco-silicatées | nPHRaf | | |
| | Formation de Bekilo gneiss pelitique | nPHRb | | |
| | Formation de Bekilo gneiss pelitique | nPHRb | | |

Méthodologie

Les échantillons alluviaux (stream sediments) ont été collectés dans des canaux ou drainage au sein de petits ruisseaux. Chaque échantillon est un composite de sous-échantillons séparés d'au moins de 5 mètres le long du ruisseau. Les localités cibles sont déterminées à l'aide de GPS (UTM à grille de 1m). Ces coordonnées sont enregistrées avec ces autres données cibles de site sur une fiche de terrain et ensuite saisies dans la base de données de projet. Chaque échantillon est tamisé sur place à l'aide d'un tamis acier inoxydable de 1mm pour donner un résidu tamisé $100\mu m$.

Après le séchage de ces échantillons en plein air, ils sont envoyés pour les analyses chimiques aux laboratoires ALS Minerals à Johannesburg, Afrique du Sud. Ils sont ensuite tamisés à travers un tamis de 180 microns (60 mesh) à laboratoire avant analyse. Les métaux de base et certains autres éléments solubles seront analysés par ICP-AES et ICP-AES après avoir essuyé le résidu tamisé dans l'eau régale. Le Fluor (F) sera analysé par Fusion-S.I.E méthode. Les données de terrain et analyses sont saisies dans une base de données et les résultats sont exportés ensuite pour l'analyse statistique et le SIG.

Légende Topographique

| | |
|---|--------------------|
| ■ | Chef-Lieu-District |
| ■ | Chef-Lieu-Commune |
| ■ | Village |
| ■ | Habitation |
| ■ | Eau |
| — | Pérenne |
| — | Dam/Vall |
| — | Route Principale |
| — | Route prioritaire |

Projet de Cartographie Géologique et de Système d'Information Minière pour la Promotion de l'Industrie Minière dans la République de Madagascar

Date: Mars 2012
 Référence Cartographique: PGM, 2008, 1:50000 (Bokanga, J.1523, carte géologique 1:100000) (B (Bambakely), EB (Evary), IG (Bekily), JB (Bekilo), LB (Bouakely), JD (Ampanancavia), KB (Bekilo), KEB (Mahafo), Service géologique de Madagascar, Antananarivo)

Gestion du projet: Takami OUMMA (SRED / JICA)
 Pénence: Asehi NINOMIA (SRED / JICA), SHINJI ISHIZAKI (NIPPON KOGI / JICA), Saito TAKESHI (SRED / JICA), Roger RAMBLOSON (SRED / JICA), Hiroaki ISHIOKA (SRED / JICA), Zentaro MITSUKAWA (M/M), Yoshinori SAITOH (M/M), Louis-Hervé RANDRIAMANANJATO (M/M), Soasisonare RAKOTOMANANA (M/M), Prosper RAZAFIMAHARISO (M/M), Marika RASAMBAZAFISON (M/M)

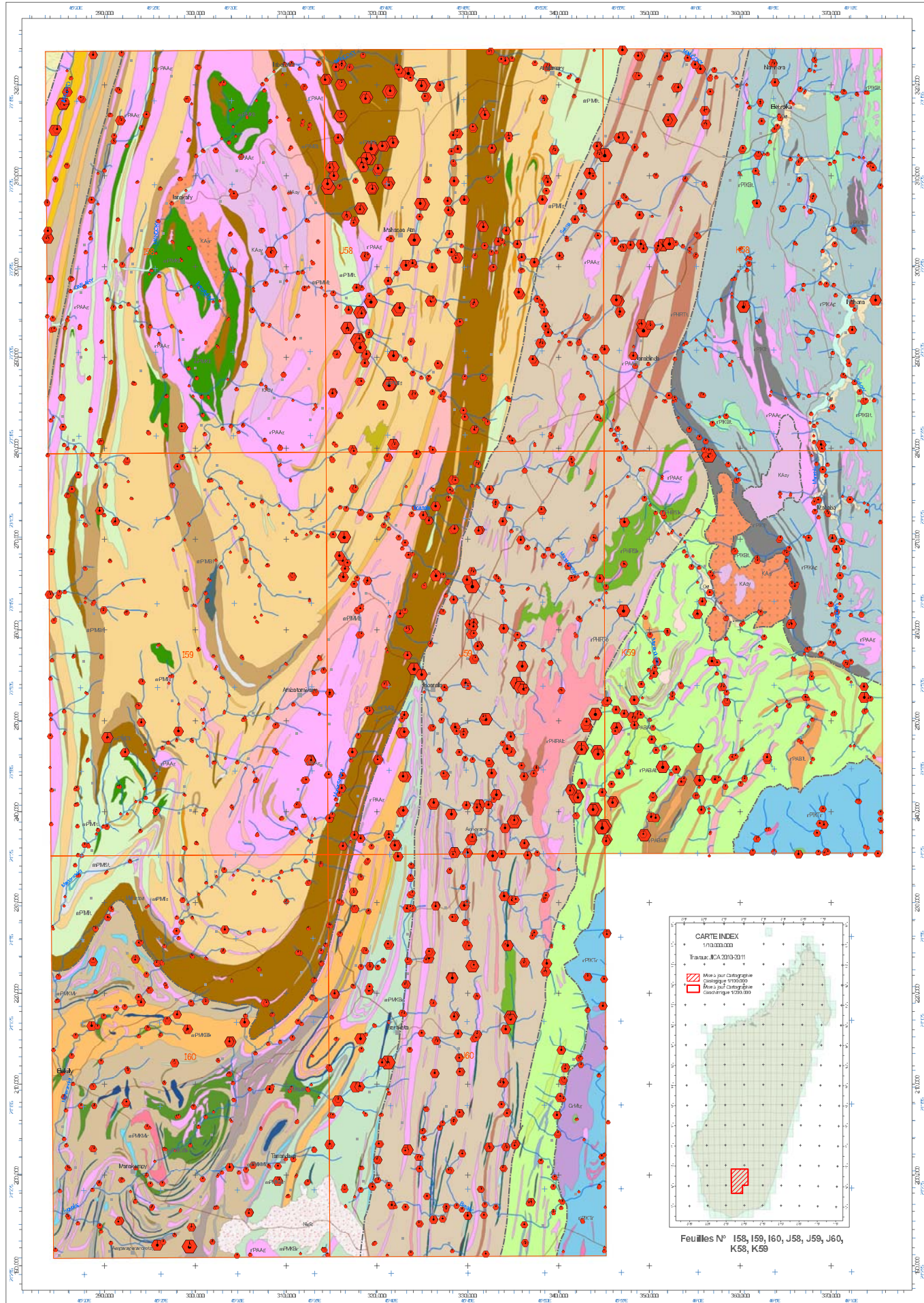
Rédaction et dessin cartographique: Asehi NINOMIA (SRED / JICA), SHINJI ISHIZAKI (NIPPON KOGI / JICA), Masahiko HARA (SRED / JICA)

SG & Télé-détection: Takami OUMMA (SRED / JICA), Asehi NINOMIA (SRED / JICA), Masahiko TAKEDA (SRED / JICA)

Édité par: Sumiko Resources Exploration and Development Co., Ltd. Tokyo, Japan

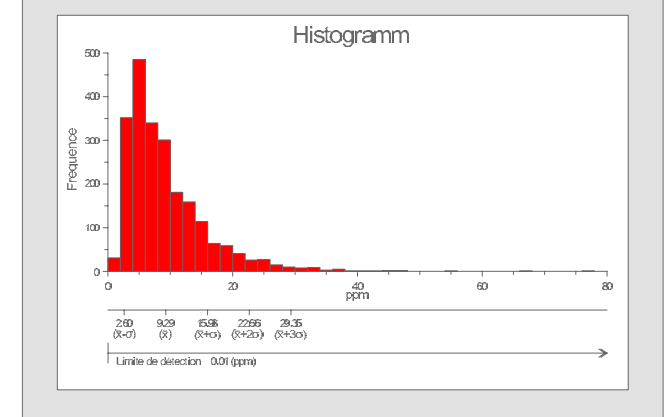
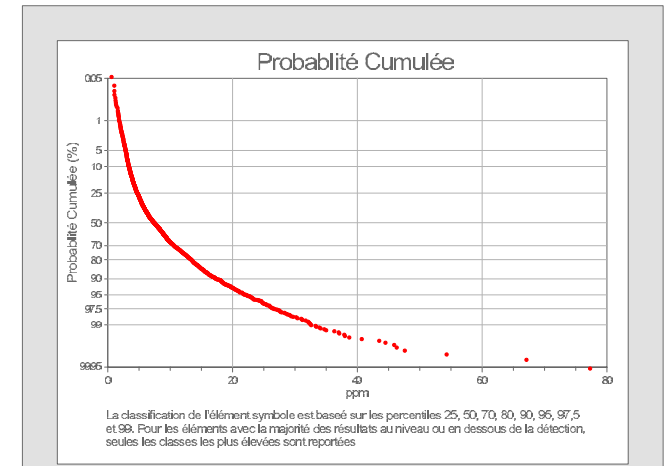
Coordinateur: Volokina RASOMANJALA (M/M), Andriamanantena RANAVONJANONJANON (M/M)

Coordinateur adjoint: Jusey RAMBLOSON (PGM), Dominique RAKOTOMANANA (PGM)



Légende Géochimique

| Cu (ppm) | Cumulatif Pourcentage d'échantillons | Statistiques | |
|----------|--------------------------------------|--------------------------|------------|
| • | < 4.73 | Moyenne (\bar{x}) | 9.29 (ppm) |
| • | 4.73 - 7.42 | Médiane | 7.42 (ppm) |
| • | 7.42 - 10.60 | Minimum | 0.60 (ppm) |
| • | 10.60 - 13.35 | Maximum | 77.3 (ppm) |
| • | 13.35 - 17.40 | Écart type (σ) | 6.69 |
| • | 17.40 - 22.10 | Limite de détection | 0.01 (ppm) |
| • | 22.10 - 26.60 | Nombre d'échantillon (n) | 2240 |
| • | 26.60 - 32.60 | | |
| • | > 32.60 | | |



Légende Géologique

| Échelle | Unité Géologique | Code | Description | |
|-------------------|-----------------------|--|--|--|
| PHANÉROZOÏQUE | alluvions | Ca | alluvions | |
| | carapace ferrugineuse | NeFe | carapace ferrugineuse | |
| | SUITE DE TSVORY | CrMg | microgranite | |
| | VOLCAN D'ANDROY | CrMab | basalte | |
| | | CrMtr | rhyolite | |
| | PALEOZOÏQUE | Formation de Sakamena II grès et schistes à Glossopiers | PsSkMa | Formation de Sakamena II grès et schistes à Glossopiers |
| | | Formation de Salica III grès et argiles rouges inférieures | PsSkGa | Formation de Salica III grès et argiles rouges inférieures |
| | | SUITE DAMBAVAO | KAg | granite (550-520Ma) |
| | PROTÉROZOÏQUE | syénite | KAsy | syénite |
| | | gneiss granitique | nFAAg | gneiss granitique |
| SUITE D'ANKILABO | | nFAKgo | syénite | |
| GROUPE D'ANKORA | | nPIKAp | Formation d'Anpainty grès pelitique avec grenat | |
| | | nPIKt | Formation d'Ihoay bancs grès | |
| | | nPIKbl | Formation de Belokra grès migmatite | |
| | | nPIKtr | Formation de Trianomaro bancs pelite, grès, carbonatés | |
| NEOPROTÉROZOÏQUE | | nFABit | Formation d'Iroho grès psammite | |
| | | nFABab | Formation d'Ambatoavo grès pelitique | |
| | | nFABan | Formation d'Ambonoroely grès avec grenat | |
| | nFABad | Formation d'Ankararazo grès avec magnésite | | |
| | nFABMf | Formation de Morafeno grès | | |
| | nFABMv | Formation de Mareano pegmatite | | |
| | nFABh | Formation de Bolinao pyroxène, gabbro et corail | | |
| | nFABt | Formation de Mahafalajo carbonatée et calco-silicatées | | |
| | nFABa | Formation d'Antanary grès pelitique | | |
| | nFABz | Formation de Manzoarivo grès migmatite | | |
| MÉSOPROTÉROZOÏQUE | nFAMU | Formation de Libambo quartzite | | |
| | nFMKib | Formation de Meba grès psammite | | |
| | nFMKtr | Formation de Beraketa grès pelitique avec grenat | | |
| | nFMKtb | Formation de Tanambao grès avec magnésite | | |
| | nFMKtr | Formation de Menarandra grès avec amphiboles | | |
| | nFMKbk | Formation de Bekily grès | | |
| | nFMKAr | Formation d'Ankararabo carbonatée et calco-silicatées | | |
| | nFMKAd | Formation d'Ampanaravava pyroxénite | | |
| | nFMKtn | Formation de Tanianena amphibolite | | |
| | nFMKln | Formation de Manantananja gabbro | | |
| GROUPE D'ANANTO | nFMKlk | Formation de Manakompy grès migmatite | | |
| | nFMKsv | Formation de Sakavokony gabbro et dioropyroxénite massive | | |
| | nFMW | Formation d'Antanary quartzite | | |
| | nFMIsr | Formation de Soavavy grès psammite | | |
| | nFMit | Formation d'Antelivonina grès pelitique | | |
| | nFMIs | Formation d'Isorana grès avec grenat | | |
| | nFMZb | Formation de Zombiby grès avec magnésite | | |
| | nFMIsT | Formation de Sakalavavy grès avec amphiboles | | |
| | nFMIf | Formation de Betanana grès | | |
| | nFMVb | Formation de Vohimbao grès GSB | | |
| GROUPE DE HOROMBE | nFHRto | Formation de Tolonaro grès pelitique | | |
| | nFHRab | Formation d'Ambararata grès avec grenat | | |
| | nFHRtl | Formation de Talabaho grès et brèche, psammite, quartzite | | |
| | nFHRam | Formation d'Ambatobe pyroxénite | | |
| | nFHRsk | Formation de Salica grès migmatite | | |
| GROUPE DE HIRAKA | nFHRwf | Formation de Morafeno carbonatée et calco-silicatées | | |
| | nFHRB | Formation de Benato Ambony mylonite | | |
| | nFMW | Formation de Vohimbao grès GSB | | |
| | nFMik | Formation d'Antakazo quartzite | | |
| | nFMh | Formation d'Antakazo gabbro et dioropyroxénite massive | | |
| GROUPE DE MANAKO | nFMIsb | Formation de Sambalany pyroxénite et amphibolite | | |
| | nFMIs | Formation de Kollamboro grès migmatite | | |
| | nFMW | Formation de Vohimbao grès GSB | | |
| | nFMik | Formation d'Antakazo quartzite | | |
| | nFMh | Formation d'Antakazo gabbro et dioropyroxénite massive | | |

Méthodologie

Les échantillons alluviaux (stream sediments) ont été collectés dans des canaux ou drainage au sein de petits ruisseaux. Chaque échantillon est un composite de sous-échantillons séparés d'au moins de 5 mètres le long du ruisseau. Les localités cotées de site sont déterminées à l'aide de GPS (UTM à grille de 1m). Ces coordonnées sont enregistrées avec ces autres données cotées de site sur une fiche de terrain et ensuite saisies dans la base de données de projet. Chaque échantillon est tamisé sur place à l'aide d'un tamis acier inoxydable de 1mm pour donner un résidu tamisé $100\mu m$.

Après le séchage de ces échantillons en plein air, ils sont envoyés pour les analyses chimiques aux laboratoires ALS-Minerals à Johannesburg, Afrique du Sud. Ils sont ensuite tamisés à travers un tamis de 180 microns (60 mesh) à laboratoire avant analyse. Les métaux de base et certains autres éléments solubles seront analysés par ICP-AES et ICP-AES après avoir cissé le résidu tamisé dans l'eau régale. Le Fluor (F) sera analysé par Fusion-S.I.E méthode. Les données de terrain et analyses sont saisies dans une base de données et les résultats sont exportés ensuite pour l'analyse statistique et le SIG.

Légende Topographique

- Chef-Lieu-District
- Chef-Lieu-Commune
- Village
- Habitation
- Eau
- Rivière
- Dam/Vall
- Route Principale
- Route prioritaire

Projet de Cartographie Géologique et de Système d'Information Minière pour la Promotion de l'Industrie Minière dans la République de Madagascar

Date: Mars 2012
 Référence Cartographique: PGRM, 2008, 1:50000 (Bambang, J.1923, carte géologique 1:100000 EB (Bambang), EB (Evary), EB (Bekily), EB (Isorana), EB (Isorana), EB (Antanaravava), EB (Belokra), EB (Mahabo), Service géologique de Madagascar, Antananarivo)

Gestion du projet: Takami OUMMA (SRED / JICA)

Cartographie: Asehi NINOMIYA (SRED / JICA), SHUNJI ISHIZAKI (NIPPON KOEI / JICA), Saito TAKELI CH (SRED / JICA), Roger RAMBELOGON (SRED / JICA), Hiroaki ISHIOKAWA (SRED / JICA), Zoroimaina RANDRANALALA (MM), Vohangiriana SAH DUARIMANANA (MM), Louis-Hervé RANDRANANALALA (MM), Soasisonaina RAKOTOVAO (MM), Prosper RAZAFIMANANTSOA (MM), Marisa RASALANJAFISON (MM)

Rédaction et dessin cartographique: Asehi NINOMIYA (SRED / JICA), SHUNJI ISHIZAKI (NIPPON KOEI / JICA), Masahiko HARA (SRED / JICA)

SG & Télé-détection: Takami OUMMA (SRED / JICA), Asehi NINOMIYA (SRED / JICA), Masahiko TANEDA (SRED / JICA)

Édité par: Sumiko Resources Exploration and Development Co., Ltd. Tokyo, Japan

Coordinateur: Vohangiriana RANDRANALALA (MM), Andriamanantena RANDRANALALA (MM)

Coordinateur adjoint: Jonsey RAMBOLAINY (PGRM), Dominique RAKOTOMANANA (PGRM)

